

# تحليل أداء مجس الألياف البصرية المستخدم لقياس شدة المجال الكهربائي

سلمى محمد حسين\* عدي عطا حمادي\* رانيا عايد مركب\*

تاریخ قبول النشر ٢٠٠٥/٥/٢

## الخلاصة

في هذا البحث ، جرى تقديم نتائج لتحليل أداء مجس الألياف البصرية المستخدم لقياس وتحسس شدة المجال الكهربائي. بینت النتائج المستحصلة أن استخدام مجس طويق يعطي استجابية عالية لشدة المجال الكهربائي وقيمة عالية لتحسسيته المجس ، إلا أن ذلك يتم على حساب تقليل شدة المجال الكهربائي التي يتم الكشف عنها. ولأجل الحصول على استجابية واسعة لشدة المجال ومنتظمة نسبياً يتم استبدال دالة الاستجابية الفعلية بدالة أخرى تتحدد تحليلياً.

## النموذج النظري

تعطى إزاحة الطور ( $\phi$ ) الناتجة عن طول ( $L$ ) لليف بصري موضوع في مجال كهربائي شدته ( $E$ ) بالعلاقة الآتية:

$$(1) \quad \phi = \eta EnkL$$

حيث  $k$  هو العدد الكمي للحامل البصري و  $n$  معامل انكسار مادة الليف و  $\eta$  حساسية المجس للمجال الكهربائي. يمكن تبسيط العلاقة (1) من خلال تعريف الحساسية التبادلية للمجس ( $S$ ) والتي تمثل حاصل ضرب إزاحة الطور بشدة مجال كهربائي مقدارها (1V/m) لطول (1m) من الليف البصري ، فتصبح:

$$(2) \quad \phi = SEL$$

إن القيمة النموذجية لعامل الحساسية التبادلية ( $S$ ) للمجس تكون بحدود (50μrad/V) [4] وباستخدام مقياس تداخل (Interferometer) [4] يمكن التوصل إلى الصفر عند الأطوال الموجية القصيرة [4].

يمكن الكشف عنها بحدود (1μrad/Hz) [1] تجعل من الممكن كشف مجال كهربائي شدته  $\sqrt{Hz}/0.02V$  لطول (1m) من الليف البصري. ولأجل كشف إشارات قيمتها  $(1\mu V Hz^{1/2})$  يتوجب استخدام ليف بصري يطول عدة كيلومترات على فرض أن الليف يمتد بشكل مستقيم [5].

عندما يكون زمن مرور الإشارة الضوئية خلال مجس طويق مقارب لفترقة الزمنية التي يتم خلالها كشف المجال الكهربائي ، فإن المجال الكهربائي في المعادلة (2) لا يبقى ثابتاً. هذا التحويل يقدم الاستجابية التردية لمجس طويق إذ تكون استطاله الليف البصري (أي مقدار التغير في طول الليف  $L$ ) صغيرة مقارنة بالطول

استثرت مجسات المجال الكهربائي والهوائيات التي توظف الألياف البصرية باهتمام الباحثين مؤخراً بشكل كبير [1-3]. يتم تصنيع مثل هذه المجسات من خلال طلاء الليف البصري ذي النمط المنفرد بمادة نشطة كهروبصرياً وعند تعریض المجس إلى مجال كهربائي متناوب فإن الموجات الراديوية الناتجة تحدث تضميناً لمعامل انكسار مادة الليف. هذا التضمين يسبب إزاحة طورية يمكن الكشف عنها بشكل إشارة كهربائية باستخدام مقياس التداخل الذي يوظف الألياف البصرية والكواشف الضوئية. إن حساسية هذه المجسات تردد خطياً مع طول المجال عند الأطوال الموجية الطويلة ، إلا أن زيادة طول المجال بشكل كبير تؤدي إلى تقليل الحساسية وقد تصل إلى الصفر عند الأطوال الموجية القصيرة [4].

هناك العديد من التطبيقات التي توظف هذا النوع من المجسات وإن مجسات الألياف البصرية المصنعة من المواد العازلة كهربائياً تعمل كهوائيات استلام فقط إذ أنها لا تخضع لقواعد التبادل التي تعمل وفقها الأنواع التقليدية من الهوائيات. إن هذه الخاصية تجعل هذه المجسات مفيدة للعمل كهوائيات استلام ذات مساحة مقطعة عرضي مقاربة للصغر. كذلك فإن هوائيات الألياف البصرية تكون محسنة تجاه النبضات الكهرومغناطيسية (EMP) والشحنات الكهربائية المستقرة [1].

علاوة على ذلك ، فإن هوائيات الألياف البصرية يمكنها استلام الحزم ذات الترددات الواطئة جداً إذ أن الهوائيات التقليدية بصورة عامة تكون ذات حجم كبير جداً وكفاءة واطئة بسبب الخسائر الناجمة عن درجة ترابط مكونات الشبكة.

\* قسم العلوم التطبيقية ، الجامعة التكنولوجية ، بغداد ، العراق

\*\* ص . ب . ٥٥١٥٩ ، بغداد ١٢٠٠١ ، العراق

عند رسم  $\phi/SE_0\lambda$  مقابل  $(L/\lambda)$  ، كما في الشكل (2)، فإنه تتضح الزيادة الخطية في قيمة التحسسية إلى الحد الذي يمكن اعتباره طويلاً من ناحية التحسسية الكهربائية إذ لا يتم تحقيق زيادة أكبر في قيمة التحسسية. إن القيم الصفرية للتحسسية تنتج عندما يكون طول الليف البصري كبيراً.

إن عرض الحزمة الترددي  $(f_{3dB})$  للمجس عند شدة مقدارها  $(3dB)$  يتحدد بطول المجس ، وفي حالة تردد  $(U=1.39)$  فإنه يعطى بالعلاقة الآتية:

$$(7) \quad f_{3dB} = \frac{1.39c}{\pi n L} = \frac{88.5 \text{ MHz}}{L}$$

حيث  $(L)$  طول المجس. وعليه ، فمن أجل الحصول على عرض حزمة مقداره  $(88.5 \text{ kHz})$  فإنه يتوجب العمل عند طول  $(1 \text{ km})$  للياف.

من الشكل (1) والشكل (2) ، يلاحظ أنه لا يفضل العمل في المنطقة الطويلة كهربائياً بسبب تكون القيم الصفرية للاستجابة والتي تنشأ عن إجراء التكامل للدالة المتاظرة عبر مضاعفات الدورة وكما في المعادلة (4). يمكن إلغاء القيم الصفرية للاستجابة من خلال إضافة حدود تعبر عن عدم التناظر إلى الدالة نفسها. وذلك يتم من خلال جعل التحسسية  $(S)$  دالة للموقع  $(z)$ . أي أنه لأجل حذف القيم الصفرية للدالة  $S(z)$  يجب ألا تكون هذه الدالة متاظرة حول  $z=L/2$ .

لذلك ، يتم اختيار دالة خطية تعرف كالتالي:

$$(8) \quad S(z) = S_0 [1 + \frac{\tau - 1}{L} z]$$

حيث  $S_0$  التحسسية الابتدائية للمجس و  $\tau$  معامل خاص بنوع الليف و قيمته  $1 \leq \tau \leq 0$ . ومن خلال استبدال دالة التحسسية  $(S)$  في المعادلة (4) بالدالة  $(z)$  في المعادلة (8)، ينتج

$$(9) \quad \phi = \int S [1 + \frac{\tau - 1}{L} z] E e^{-j\omega t} dz$$

وهذا التكامل يتضمن جزئين ، حقيقي وخيالي ، كما يأتي:

$$(10) \quad \text{Re } \phi = S_0 \left[ \frac{\sin 2\pi f t}{2\pi f} + (\tau - 1) \left[ \frac{\sin 2\pi f t}{2\pi f} + \frac{\cos 2\pi f t - 1}{4\pi f} \right] \right]$$

$$(11) \quad \text{Im } \phi = S E L \left[ \frac{1 - \cos 2\pi f t}{2\pi f} + (\tau - 1) \left[ \frac{\sin 2\pi f t}{4\pi f} - \frac{\cos 2\pi f t}{2\pi f} \right] \right]$$

وإن قيمة  $\phi$  تعطى كالتالي:

$$(12) \quad \phi = \sqrt{(\text{Re } \phi)^2 + (\text{Im } \phi)^2}$$

الموجي لموجة المجال الذي يتم كشفه ، إلا أن زمن العبور خلال الليف البصري يكون طويلاً بشكل كافٍ مقارنة بزمن دورة المجال الكهربائي [6]. إن هذا التحليل يتراوح فقط تأثير طول الليف البصري على الاستجابة الترددية.

إذا كان المجال الكهربائي متغيراً مع زمن العبور خلال المجس ، يتم إجراء التكامل لإزاحة الطور المختلط بواسطة المجال الكهربائي لأجل الدقة. وعليه فإن زمن العبور  $(\tau)$  يرتبط بالمسافة التي ينتقل بها الضوء خلال المجس  $(z)$  على افتراض أن تأثير المجال الكهربائي على قيمة معامل الانكسار  $(n)$  يكون مهملاً ، وكما يأتي:

$$(3) \quad \tau = nz/c$$

حيث  $c$  سرعة الموجة الكهرومغناطيسية في الفراغ.

إن معادلة حساب إزاحة الطور الناتجة عن المجال الكهربائي لا تتطابق المعادلة (2) وإنما تحسب كالتالي:

$$(4) \quad \phi = \int_0^L SE_0 e^{j\omega t} dz$$

وبتعويض المعادلة (3) في المعادلة (4) وإجراء التكامل ، يصبح:

$$(5) \quad \phi = SE_0 L \frac{|\sin U|}{U}$$

حيث

$$(6) \quad U = \frac{\pi f n L}{c} = \frac{\pi n L}{\lambda}$$

حيث أن  $U$  هو تردد التقويم على طول الليف و  $\lambda$  الطول الموجي لموجة المجال المغناطيسي في الفضاء الحر. نفترض أن انتشار الموجة داخل الليف مع الطول يكون مثاليًا أي أن الخسائر يمكن إهمالها.

### النتائج والمناقشة

عند الترددات الوطنية ، يتم اختيار المعادلة (5) إلى المعادلة (2) ويبين الشكل (1) تغير الاستجابة المقومة للمجس لوحدة الطول  $(\phi/SE_0 L)$  كدالة لتردد التقويم  $(U)$  من الشكل يلاحظ أن ذروات الاستجابة تظهر عند شدة (20dB) فيما تبسط إلى الصفر عند قيم التردد  $U$  التي تمثل مضاعفات  $\pi$ . كما يلاحظ أن قيمة الاستجابة تقل بمقدار (3dB) عند تردد  $(U=1.39)$  أو  $(L=0.25\lambda)$  لمعامل الانكسار  $(n=1.5)$ .

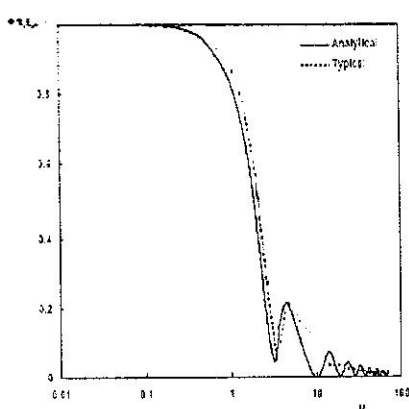


Fig. (3) variation of normalized symmetric response of sensor per unit length ( $\phi S_0 E_0 L$ ) with the normalized frequency ( $\zeta$ )

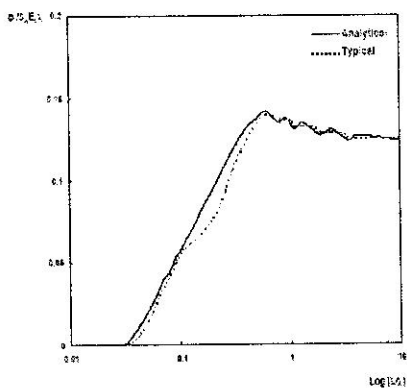


Fig. (4) variation of the normalized symmetric response of sensor per unit wavelength ( $\phi S_0 E_0 \lambda$ ) with the normalized sensor length ( $L/\lambda$ )

### الاستنتاجات

**لأجل تحقيق قيم عالية لحساسية**  
**مجس المجال الكهربائي باستخدام**  
**الألياف البصرية ، يتوجب جعل المجرس**  
**طويل إذ أن التحسسية تتاسب مع طول**  
**المجرس. عندما يكون طول المجرس**  
**مقارباً أو أكبر من الطول الموجي**  
**لإشارة المجال الكهربائي ، تظهر قيم**  
**صفرية للاستجابة التردديّة ، وهذه القيم**  
**يمكن تقليلها إلى حد إهمالها باستخدام**  
**دالة متسايرة لحساسية حيث تتولّد**  
**استجابة منبسطة وواسعة نسبياً في**  
**المنطقة الطويلة كهربائياً من المجرس.**

يبين الشكل (3) علاقـة  $\phi/S_0 E_0 L$  بتردد التقويم ( $\zeta$ ) ومنه يلاحظ أن أقصى نهاية خطية للدالة تكون عندما  $\zeta = 0$ . عند مقارنة الشكل (3) بالشكل (1) ، يلاحظ أن القيم الصفرية للاستجابة تتحول إلى مناطق تموج لذا يتسع المدى الترددـي الذي يتم الإفادـة منه للمجرـس.

أما الشـكل (4) فيوضح عـلاقـة  $\phi/S_0 E_0 \lambda$  مقابل  $L/\lambda$  وهو يـبيـن الـزيـادة الـخـطـيـة فيـ قـيـمةـ التـحـسـسـيـةـ وـصـوـلـاـ إـلـىـ الـمـنـطـقـةـ الـطـوـلـيـةـ كـهـرـبـائـيـاـ إـذـ تـمـتـ دـالـةـ الـاسـتـجـابـيـةـ وـتـبـطـسـ بـدـلـاـ مـنـ الـقـيـمـ الصـفـرـيـةـ الـوـرـيـةـ فـيـ الشـكـلـ (2)ـ. إـنـ إـلـغـاءـ الـقـيـمـ الصـفـرـيـةـ الـتـحـسـسـيـةـ يـكـونـ عـلـىـ حـسـابـ تـقـلـيلـ قـيـمةـ التـحـسـسـيـةـ إـذـ نـقـلـ التـحـسـسـيـةـ لـلـأـطـوـلـ الـمـوـجـيـةـ الـطـوـلـيـةـ بـمـقـدـارـ (6dB)ـ فـيـ حـالـةـ الـمـجـسـ ذـيـ السـلـوكـ الـخـطـيـ.

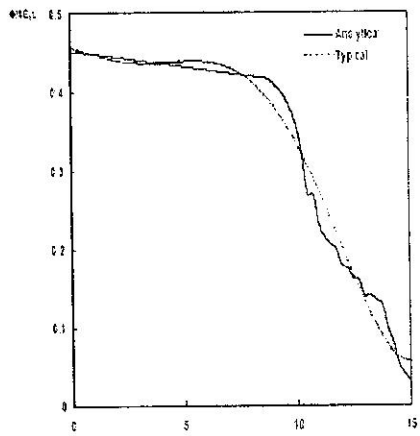


Fig. (5) variation of normalized response of sensor per unit length ( $\phi S_0 E_0 L$ ) with the normalized frequency ( $\zeta$ )

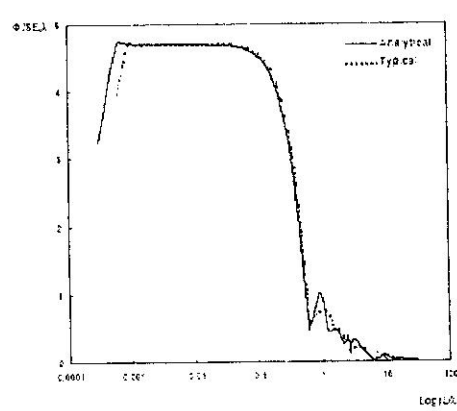


Fig. (6) variation of the normalized response of sensor per unit wavelength ( $\phi S_0 E_0 \lambda$ ) with the normalized sensor length ( $L/\lambda$ )

**المصادر**

4. De Souza, P.D. and Mermelstein ,M.D., 1982, Radio frequency electric signal measurement by optical fiber sensor, *Appl. Opt.*, 21:4214-4218.
5. Waford ,J.N., 1999, Three dimensional phase imaging with a scanning optical-fiber interferometer, *Appl. Opt.*, 38:3508-3518.
6. Phillips, P.L. and Knight, J.C., 2000, Direct measurement of optical phase in the near field, *Appl. Phys. Lett.*, 76:541-543.
1. Jarzynski, J., 1984, AC electric signals optical fiber sensor, *J. Appl. Phys.* 55: 3250 –3253.
2. Ku , C.C., De Paula , R.P., Jarzynski, J., and Bucaro, J.A ., 1983, Optical fiber antenna, *Proc. SPIE*, 412:178-184.
3. Wilson , M.L., Bartnik , D.J. and Benddett , M.P., 1988, Novel optical fiber sensing system for the AC electric field, *Proc. OFS*, 114-117.

## **Analytical Modeling to enhance electric Field measurement using Optical Fiber Sensor**

**Selma M.H**

**Oday A.H.**

**Rania I.A.**

### **Abstract**

In this work, the analysis results of performance of an optical fiber sensor used to measure and detect the electric field intensity were presented. These results explained that using long sensor allows high electric field response and high sensitivity to the sensor but this is performed while the electric field intensity to be detected is decreased. In order to obtain wide and relatively uniform responsivity, the mean electric field responsivity function is replaced by another one can determined analytically.